

## PREPARAÇÃO DE AMOSTRAS CERÂMICAS PARA MET

Ana H. A. Bressiani  
Comissão Nacional de Energia Nuclear - SP  
Instituto de Pesquisas Energéticas e Nucleares

A preparação de lâminas finas de amostras cerâmicas é relativamente recente (a partir da década de 70) e vem se desenvolvendo bastante graças ao surgimento de equipamentos comerciais como canhões de íons e sistemas dimpler. O procedimento básico de preparação dessas lâminas para observação em MET inclui :

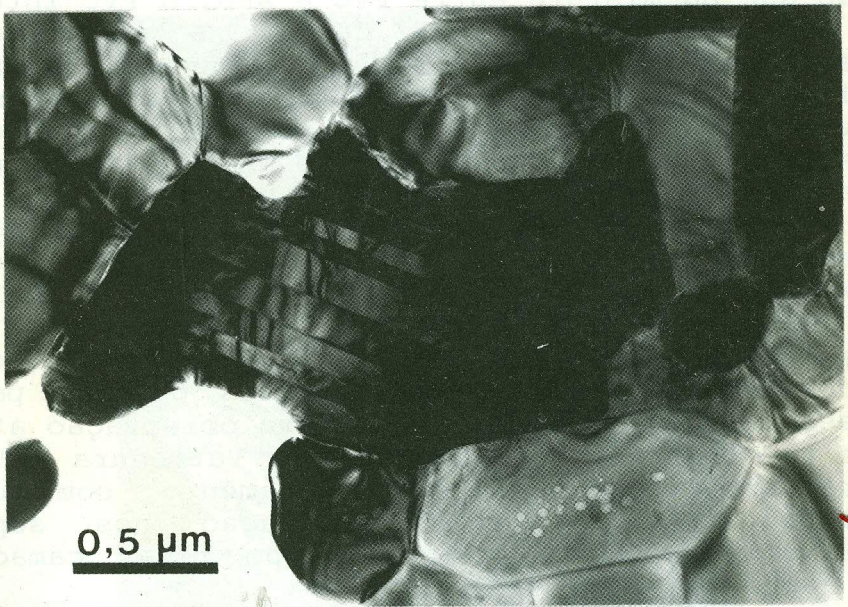
1. Corte ultrassônico no diâmetro desejado
2. Corte desses cilindros em forma de discos com espessura de ~ 200  $\mu\text{m}$ .
3. Polimento em lixas para diminuição da espessura até ~ 100  $\mu\text{m}$
4. Polimento cuidadoso em pastas de diamante para obtenção de superfícies paralelas e retirada de camada superficial danificada pelo uso de lixas.
5. Afinamento mecânico por dimpler
6. Obtenção de área fina por bombardeamento de íons de argônio, com tensão aceleradora entre 5 e 6 kV e ângulo de incidência de 15 a 25  $^\circ$ .

O procedimento acima pode ser adaptado à capacidade e as necessidades de cada laboratório, sendo no entanto, indispensável o uso de canhão de íons. A preparação de amostras deve ser bastante criteriosa, pois pode provocar adulterações, tais como - formação de defeitos, arrancamento preferencial de fases, transformação de fase - prejudicando a análise do material, podendo levar inclusive a conclusões errôneas. Um exemplo bastante típico é o de amostras contendo  $\text{ZrO}_2$  que possa sofrer transformação martensítica durante o polimento e desbaste iônico, sendo que a reobtenção das fases originais só é possível em alguns casos. A fig.1 apresenta micrografia de uma região com boa regeneração de uma amostra de  $\text{Al}_2\text{O}_3/\text{ZrO}_2$ , onde é possível o estudo da estrutura cristalina original dos grãos em função do seu tamanho. No entanto regiões menos espessas da mesma amostra, apresentam grãos de  $\text{ZrO}_2$  que deveriam estar na forma tetragonal, mas que sofrem transformação ( fig.2 ).



784

Fig.1 - Microestrutura de amostra de  $Al_2O_3/ZrO_2$ .



785

Fig.2 - Partícula de  $ZrO_2$ -monoclínica em matriz de  $Al_2O_3$ .